

神戸大学 正〇北村泰春 正裕井春輔

1. まえがき 本研究は、構造物が長方形底面を持つ剛体で、地盤と等質等方の半無限弾性体とし、た場合の地盤の複素剛性を求める実用的計算法を示したものである。このような Mixed-Boundary 問題は、接触圧分布と未知量として二重積分で表わされる積分方程式を解く問題に帰着し、非常に難解である。このため、本研究では、構造物底面を有限個の要素に分割し、各要素の接触圧に関する多元連立一次方程式を解く問題に帰着せよ。著者等は、この方法によつて、静的荷場合の長方形剛基礎底面の接触圧分布をすでに求めしており¹⁾、今回はこの方法を動的荷場合に拡張したものである。

2. 計算方法 半無限弾性体の表面へ原点より、原点よりおいて鉛直方向に作用する点加振 $P e^{i\omega t}$ による弾性体表面の任意点の鉛直変位 W は、Lamb の式²⁾を次式のように求められる³⁾。

$$W = - \left(P e^{i\omega t} / 2\pi G \right) \cdot (\alpha/r) \int_0^\infty (\zeta \sqrt{\zeta^2 - r^2} / F(\zeta)) \cdot J_0(\zeta \alpha) d\zeta \quad (1)$$

ここで、 $F(\zeta) = (2\zeta^2 - 1)^2 - 4\zeta^2 \sqrt{\zeta^2 - r^2} \sqrt{\zeta^2 - 1}$ 、 $r = \sqrt{(1-\nu)/(2(1-\nu))}$ 、 $\alpha = \omega r / V_S$ 、 V_S : 振動波速、 ν : ボアソン比、 ζ : 増減率、 J_0 : 0 次の第一種ベッセル関数である。

一方、田治見は、式(1)の絶対振幅および位相角と $\omega r / V_S$ との関係を調べ、 $\omega r / V_S$ が小さい場合の近似式を次式のように提案している³⁾。なお、次式で $\omega = 0$ とおくと、Boussinesq の解と一致する。

$$W = ((1-\nu)/2\pi G) \cdot (P e^{i\omega t} \cdot e^{-ikr}) / r, \quad k = C\omega / V_S \quad (2)$$

つきに、図-1 に示すような長方形 ($2B \times 2L$) の構造物底面を考え、
 $2m \times 2n$ 個の要素に分割する。この分割モデルに対して、本研究では
解析上の仮定をつぎのように設ける。

- 1) 各要素の位置は、その中心の座標によって表わす。
- 2) 各要素内での接触圧分布を等分布とする。
- 3) 各要素の鉛直変位は、中心点の変位の値によって表わす。
- 4) 載荷要素以外の要素の変位の計算においては、等分布荷重と静力学的
における Saint-Venant の原理を準用して要素の中心に作用する集中荷重と
して取り扱う。
- 5) 構造物底面に働く摩擦力は考慮しない。

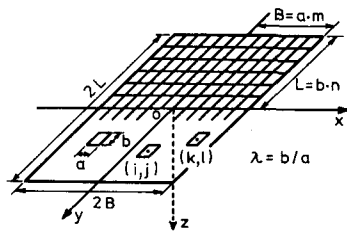


図-1 構造物底面の分割モデル

ここで、仮定 2), 3) から、載荷要素外を除く中心点の変位は、 $\omega r / V_S$ が小さい範囲となるよう分割要素の大きさを決めておき、式(2)を用いて次式のように導びかれる。

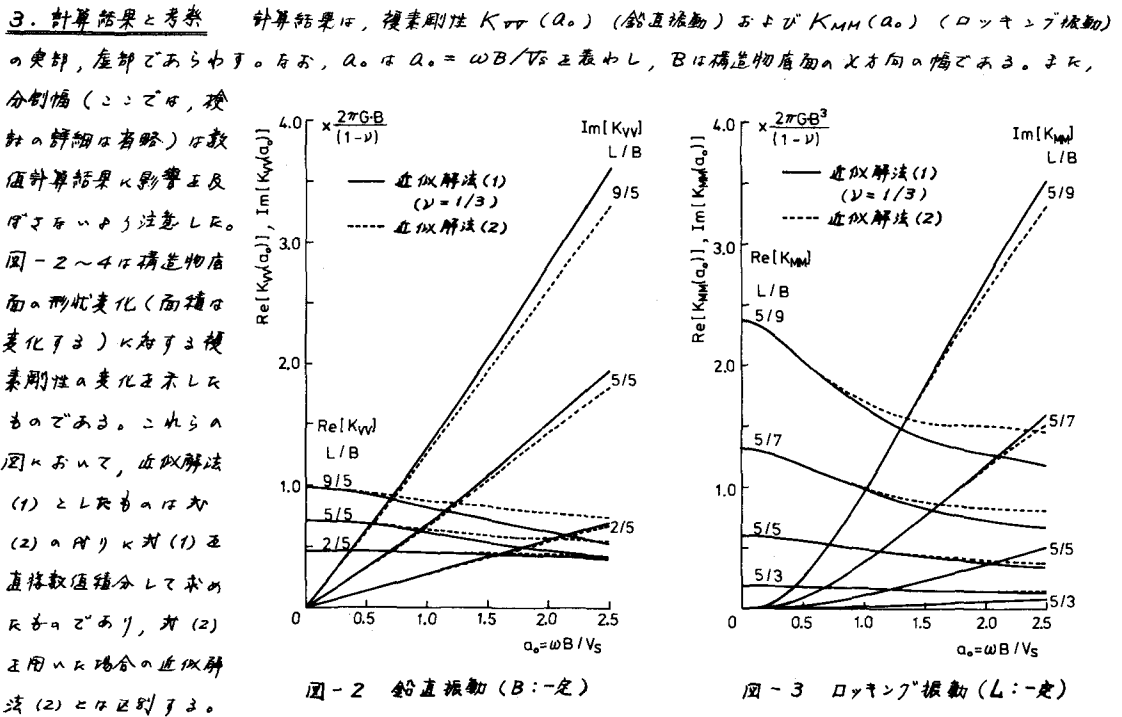
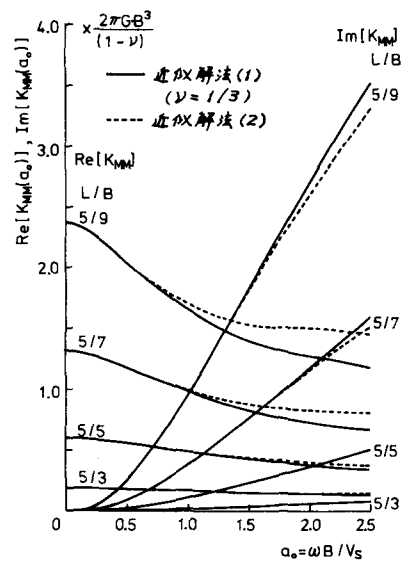
$$W_0 = (2(1-\nu)/\pi G) \cdot (P e^{i\omega t} / \kappa ab) \cdot [-i \tan^{-1}(b/a) - i \tan^{-1}(a/b) + \int_0^{\tan^{-1}(b/a)} \{ \sin(Ka/2\cos\theta) \\ + i \cos(Ka/2\cos\theta) \} d\theta + \int_0^{\tan^{-1}(a/b)} \{ \sin(Kb/2\cos\theta) + i \cos(Kb/2\cos\theta) \} d\theta] \quad (3)$$

ここで、 a, b : 分割要素幅 (図-1 参照)、 $\sin(Ka/2\cos\theta)$ 、 $\cos(Ka/2\cos\theta)$ については展開公式を用いて、式(3)の積分を行なう。なお、式(2)、(3)で K を求めるための C は、 $C = 1.20$ と取扱う。

また、図-1 において、要素 (i, j) の鉛直荷重 w_{ij} と要素 (k, l) の変位 \bar{w}_{kl} は $i = -m \sim m, j = -n \sim n$ にて重ね合わせて、要素 (k, l) の全変位 W_{kl} を求める。いま、構造物が x 軸方向に鉛直振動する場合と
y 軸方向にロッキング振動する場合、変位の境界条件はそれぞれ次式のようになりうる。

$$W_{kl} = \Delta e^{i\omega t} \quad (\text{鉛直振動}) \quad (4), \quad W_{kl} = X_R \cdot \Omega e^{i\omega t} \quad (\text{ロッキング振動}) \quad (5)$$

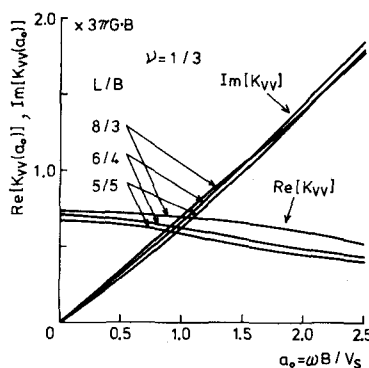
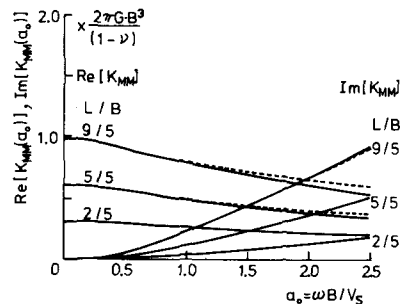
結局、式(2)、(3)を用いて各要素の接触圧分布と影響係数を求め、式(4)および式(5)の境界条件を加えて解く。すなはち、各要素の接触圧未知量と多元連立一次方程式を解く問題に帰着する。

図-2 鉛直振動 (B :一定)図-3 ロッキング振動 (L :一定)

LR 図-2 で、ここでは近似解法(1)が最も正確に近づいています。まず、鉛直振動(図-2)の場合、複素剛性の実部は $\omega B/V_s$ に対してあまり変化していないが、虚部は大きく変化していることがわかる。一方、ロッキング振動(図-3, 4)の場合、構造物の増加に対して、複素剛性の実部、虚部とも大きく変化しており、構造物の変化的影響が大きいと言える。

つきに、図-5, 6 は構造物の底面積を一定として、形状変化に対する検討を行ったものである。左図、これらの図には周囲のはん離を避けるため、近似解法(1)による結果のみ示す。鉛直振動については、形状変化よりも面積の変化の影響が大きいことがわかる。一方、ロッキング振動に対しては、構造物の増加とともに底部面積の影響を受けていると言える。

4. まとめ 基礎構造物に対する複素剛性を求める方法を示す

図-5 鉛直振動 ($B \times L$:一定)図-6 ロッキング振動 ($B \times L$:一定)

だが、 $\omega B/V_s$ の小さい場合以外、静的バネ定数を用いて動的設計を行なうことはならない一端を示してしまった。

参考文献: 1) 桥井, 地村: 土力学 No.175, 2) Lamb: Phil. Trans. Roy. Soc., London (A), Vol. 203, 3) 田治見他: 地震工学, 新同社